

استفاده از داده‌های لیتوژئوشیمی و سیالات در گیر در مطالعه کانسار مس پورفیری ایجو، شمال‌غرب شهربابک

مجید قادریⁱ; اردشیر هزارخانیⁱⁱ; محمد طالبیⁱⁱⁱ

چکیده

کانسار مس پورفیری ایجو در بخش جنوبی کمربند و لکانوپلواتونیک ارومیه-دختر و در شمال‌غربی شهربابک واقع شده است. منطقه مطالعه شده از یک مجموعه ولکانوپیرولاستیک با سن ائوسن تشکیل شده است که با توده‌های نفوذی دیوریت و کوارتزدیوریت پورفیری الیکومیوسن قطع شده است. توده‌های مزبور چندین فاز مولد دگرسانی-کانه‌زایی دارد و دگرسانی‌های پتاسیک ضعیف (بیوتیت)، فیلیک، رسی، پروپیلیتیک و سیلیسی مشاهده می‌شوند. کانی‌سازی شامل درون‌زاد، غنی‌شدگی سولفیدی ثانویه و اکسیدی است. داده‌های لیتوژئوشیمیایی نشان می‌دهند که بخش عمده‌ای از ذخیره مس کانسار ایجو در اثر فرآیندهای سطحی از بین رفته است. شوری میانگین سیالات در گیر دو فازی و غنی از مایع مطالعه شده در کانی کوارتن، ۲۴/۶ درصد وزنی معادل نمک طعام است. متوسط دمای همکن‌شدن این سیال‌ها ۲۹۶/۸ درجه سانتی‌گراد و عمق جایگزینی توده نفوذی حدود ۵۰۰ متر برآورد می‌شود. همراهی سیالات در گیر تکفازی گازی و چندفازی؛ که دال بر فرآیند جوشش است و نیز پایین‌بودن عیار میانگین مس، حاکی از آن است که سیال کانسارساز اولیه از مس فقیر است و وجود مس در بخش‌های عمیق‌تر کانسار نیز بعید به نظر می‌رسد.

کلمات کلیدی

زمین‌شناسی، لیتوژئوشیمی، سیالات در گیر، مس پورفیری، ایجو

The Use of Lithogeochemical Data and Fluid Inclusions in the Study of Iju Porphyry Copper Deposit, Northwest of Shahr-e-Babak

Majid Ghaderi; Ardesir Hezarkhani; Mohammad Talebi

ABSTRACT

Iju porphyry copper deposit is located in southern part of Orumieh-Dokhtar volcano-plutonic belt, northwest of Shahr-e-Babak. The area is composed of an Eocene volcano-pyroclastic complex intruded by Oligo-Miocene diorite-quartzdiorite porphyries. The intrusive bodies contained several alteration-mineralization producing phases. Minor potassic (biotite), phyllitic, clay, propylitic and silicic alterations are observed in the area. Mineralization occurs as hypogene, secondary sulfide enrichment and oxide. Lithogeochemical data show that the main part of the Iju deposit was destroyed due to surficial processes. Average salinity for the two-phase liquid-rich fluid inclusions studied in quartz grains is 24.6 wt% NaCl equivalent. Average homogenization temperature for the fluids was 296.8 °C and the emplacement depth is calculated as being about 500 meters. Combination of mono-phase gas and multi-phase fluid inclusions indicating boiling as well as low average of Cu content imply that the initial ore-forming fluid was poor in Cu and it would be unlikely to find copper at deeper parts of the deposit.

ⁱ استادیار گروه زمین‌شناسی اقتصادی، دانشگاه تربیت مدرس: mghaderi@modares.ac.ir

ⁱⁱ دانشیار دانشکده مهندسی معدن، متالورژی و نفت، دانشگاه صنعتی امیرکبیر

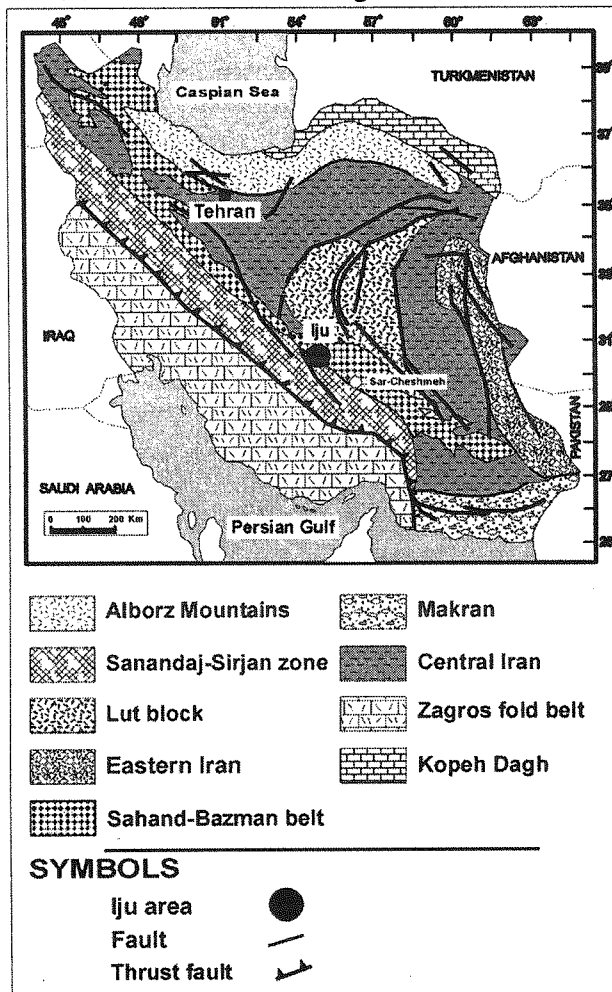
ⁱⁱⁱ دانشجوی کارشناسی ارشد زمین‌شناسی اقتصادی، دانشگاه تربیت مدرس

KEYWORDS:

Geology, Lithogeochemistry, Fluid Inclusions, Porphyry Copper, Iju

۱- مقدمه

NE-SW و با شبیه در جهت شمال غرب و در بخش های شمال غربی و غرب در جهت N-S دیده می شوند. جابجایی اولیه و لکانیک های ائوسن در ائوسن پایانی صورت گرفته است. زمانی که طاقدیس مانندها و ناویدیس مانندها تشکیل شده است و چین های مرکب با روند N-S همراه با جایگزینی دایک های آندزی بازالت شکل گرفتند [۷]، [۸]. گسل ها، توده های نفوذی منطقه را به دو بخش تقسیم کرده اند. جوان ترین دایک های آندزیت - داسیت در طول این گسل ها جایگزین شده اند، به طوری که سن آنها را پلیوسن - پلیستوسن ذکر کرده اند. سازند های ائوسن و کواترین بر روی سطح این گسل ها کشیده شده اند [۷].



شکل (۱): موقعیت کانسار ایجو بر روی نقشه زمین‌شناسی ایران [۱۴]

۲- چینه شناسی

ائوسن: در منطقه مطالعه شده، ائوسن به صورت گسترش توالی های آتشفسانی و آذرآواری بیشتر شامل توف، توف برشی، برش آندزیت و آگلومراست. این واحد آذرآواری با

کانسار مس ایجو در زون ساختاری ایران مرکزی، کمریند و لکانیک پلوتونیک ارومیه - دختر، در بخش شمال غربی نوار دهجه - ساردوئیه، در عرض جغرافیایی شمالی $30^{\circ}32'45''$ تا $30^{\circ}35'45''$ و طول جغرافیایی شرقی $54^{\circ}57'20''$ تا $54^{\circ}57'54''$ در مرکز نقشه $1:250,000$ انار و در انتهای جنوب شرقی نقشه $1:100,000$ دهجه واقع شده است. منطقه مطالعه شده در ۷۲ کیلومتری شمال غرب کانسار مس سرچشمه قرار گرفته است (شکل (۱)). بزرگترین آبادی نزدیک به ایجو، روستای جوزم است که در حدود ۱۲ کیلومتری شرق کانسار قرار دارد. این کانسار با کوه های تله کوه، ارجمند و بادامیه در برگرفته می شود که مرتفع ترین آنها، تله کوه با ارتفاع ۲۷۰۰ متر در غرب کانسار واقع است. منطقه توپوگرافی نسبتاً خشن و کوهستانی دارد. آبراهه ها به صورت شعاعی در جهات گوناگون توسعه یافته اند، اما آبراهه های اصلی داخل کانسار روند تقریباً شمال غرب - جنوب شرق و نیز شمالی - جنوبی دارند. قسمت های مرتفع منطقه به وسیله مواد تالویی پوشیده شده است و یا از رخمنون های سنگی تشکیل گشته اند. پوشش گیاهی پراکنده و تنک است. بیشترین اطلاعات موجود در خصوص این منطقه، به گروه زمین شناسان یوگسلاو مربوط است که در طی سال های ۱۹۷۱ و ۱۹۷۳ تهیه شده است [۷]-[۹] و [۱۸].

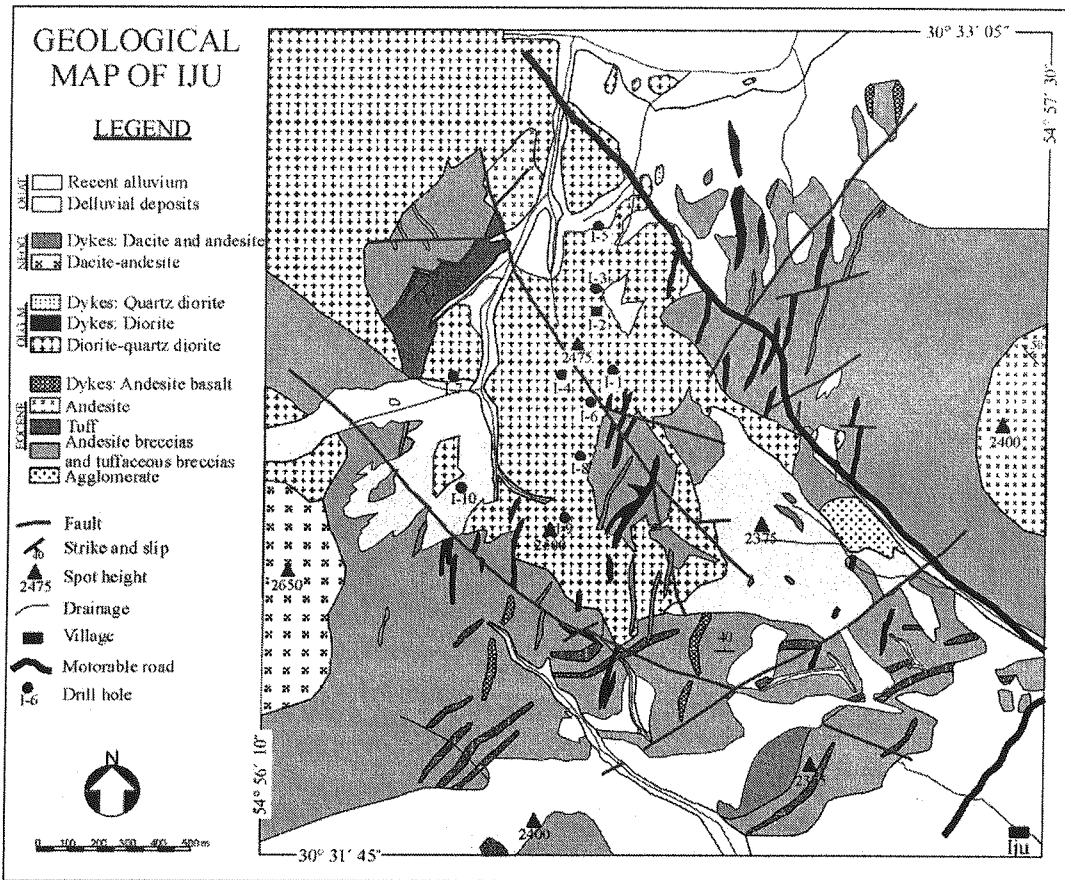
۳- روشن مطالعه

در این تحقیق، با بهره گیری از مطالعات دقیق کانی شناسی، دگرسانی و مطالعه هاله های لیتوژئو شیمی و سیالات درگیر، وضعیت کانی شناسی مس در کانسار ایجو بررسی شده است. برای انجام نمونه برداری سیستماتیک، شبکه نمونه برداری با سلول های مربعی و با ابعاد 100×100 متری تشکیل داده و از هر سلول، یک نمونه معرف آن واحد برداشت شده است.

۴- زمین شناسی

۴-۱- زمین شناسی ساختمانی

منطقه ایجو به شدت گسل خورده است (شکل (۲)). سنگ های آتشفسانی ائوسن در این منطقه با روند NW-SE و با شبیه به سمت جنوب غرب قرار دارد و در بخش های شرق و جنوب شرقی منطقه، سنگ های آتشفسانی ائوسن در جهت



شکل (۲): نقشه زمین‌شناسی محدوده کانسار ایجو [۳]

عظیم با روند NW-SE را تشکیل می‌دهند [۱۸]. پلیوسن-پلیستوسن: داسیت و آندزیت‌های نتوژن منطقه در بخش غربی و در اطراف تله کوه گسترش یافته است و بیشتر در سنگ‌های آتش‌شانی ائوسن و نیز نفوذی‌های الیگوسن-میوسن نفوذ کرده‌اند [۱۸]. این سنگ‌ها در نمونه دستی با رنگ قهوه‌ای روشن مشخص هستند و همراه با آنها، دایک‌های فراوانی دیده می‌شوند که ساخت بلورین شیشه‌ای-پورفیری (hyalocystalline-porphyry) دارند و در آنها، درشت‌بلورهای (phenocrysts) کوارتز، بیوپتیت و پلاژیوکلاز دیده می‌شود. زمینه این سنگ‌ها شامل فلدسپارها، کلریت، کوارتز، کلسیت و میکرولیت همراه با کانی‌های ثانویه کوارتز است و آپاتیت و زیرکن به عنوان کانی‌های فرعی حضور دارد [۲].

۲-۳- سنگ شناسی

آندرزیت: این سنگ‌ها در نمونه دستی به رنگ خاکستری و در مقطع میکروسکوپی بافت پورفیری دارند، با درشت‌بلورهای پلاژیوکلاز و کانی‌های دگرسان شده آهن-منیزیم‌دار مشخص می‌باشند. حضور الیوین و افزایش درصد کانی‌های آهن-منیزیم‌دار و پلاژیوکلازهای بازیک، ترکیب این سنگ‌ها را به آندرزی بازالت نزدیک می‌سازد. کانی‌های آهن-منیزیم‌دار غالباً از نوع آمفیبیول و پیروکسین هستند. دگرسانی در این نوع سنگ‌ها

چریان‌های بازالت و آندزی بازالت محدود می‌شود [۱۸]. واحد سنگی مزبور جزء قدیمی‌ترین و گستردۀ ترین واحدها در منطقه است [۱۸] و گسترش آن بیشتر در بخش‌های شرقی، جنوب و جنوب‌شرق کانسار است و توپوگرافی ملایم‌تری نسبت به داسیت‌ها و آندزیت‌های نئوژن دارد. این واحد بر روی زمین با رنگ خاکستری-بنفش مشخص است [۲]. رگه و رگچه‌های سیلیسی در بعضی از قسمت‌های این واحد دیده می‌شود. در مقطع میکروسکوپی، آندزیت‌ها با رنگ غالب خاکستری، با بافت پورفیری، فنوکریست‌های پلاژیوکلاز و کانی‌های دگرسان شده آهن-منیزیم‌دار هستند که با حضور الیوین و افزایش درصد کانی‌های آهن-منیزیم‌دار و پلاژیوکلازهای بازیک به سمت آندزی بازالت می‌روند. بیشتر این کانی‌های آهن-منیزیم‌دار شامل پیروکسن و آمفیبول هستند که به مقدار کمی اکسیده، کربناته، کلریتی، سریسیتی و به میزان بسیار کمتر، اپیدوتی شده‌اند. این بخش در قسمت مربوط به سنگ‌های آتش‌نشانی به طور کامل توضیح داده خواهد شد.

الیگوسن-میوسن: دیوریت و کوارتزدیوریت‌های پسورفیری منطقه با سن نسبی الیگوسن-میوسن بیشتر در بخش مرکزی کانسسار و به میزان کمتر در بخش‌های شمال‌غربی و جنوب‌غربی گسترش یافته است و خود قسمتی از توده‌های

در بخش‌های مرکزی کانسار دیده می‌شود که همراه با آثار کانه‌زایی به صورت مالاکیت هستند. دیوریت پورفیری‌های غیردگرسان با رنگ خاکستری تا خاکستری تیره و با بافت مشخص پورفیری دیده می‌شوند که در مقطع میکروسکوپی، شامل مقدار فراوانی کانی‌های درشت پلاژیوکلاز با اندازه‌های مقاومت و از حد میلی‌متر تا سانتی‌متر و مقدار کمی آمفیبول به همراه بیوتیت و کوارتز می‌باشند. پلاژیوکلازها کم و بیش سریسیتی و کمی کربناته و اپیدوتیتی شده‌اند. هورنبلندها تا حدی به کلریت، کلسیت و به میزان کمتر دولومیت تجزیه شده‌اند. بیوتیت‌ها نیز کم و بیش کلریتی شده‌اند [۲].

داسیت و آندزیت‌های نئوژن: گسترش این سنگ‌ها بیشتر در بخش غربی منطقه و در اطراف تله‌کوه است و اکثر ارتفاعات منطقه را می‌سازند. رخنمون‌های این سنگ‌ها جوان‌تر از توده‌های نفوذی و آتشفسانی‌های ائوسن هستند [۱۸]. دایک‌هایی از این جنس نیز به فراوانی در منطقه یافت می‌شود که در مقطع نازک، درشت‌بلورهای کوارتز، بیوتیت و پلاژیوکلاز در زمینه‌ای از فلدسپار، کلریت، کلسیت و میکرولیت مشاهده می‌شوند. آپاتیت و زیرکن، کانی‌های فرعی این سنگ‌ها هستند. بعضی از آندزیت‌ها و داسیت‌ها، تحت تأثیر دگرسانی‌های گرمابی در حد کم تا متوسط قرار گرفته‌اند. دگرسانی‌ها شامل سریسیتی و رسی‌شدن پلاژیوکلازها، و کلسیتی، کلریتی و سوسوریتی شدن است [۲].

۳-۴- دایک‌ها

در منطقه ایجو، دایک‌های فراوانی با روند عمدتاً شمالی-جنوبی و با ترکیب داسیت-آندزیت، دیوریت و کوارتزدیوریت پورفیری حضور دارند که گاهی واحد‌های قدیمی‌تر را قطع کرده‌اند. این دایک‌ها به فعالیت‌های آتشفسانی نئوژن مربوط هستند [۷]. دایک‌های مزبور، اغلب از سیستم‌های شکستگی پیروی می‌کنند و بیشتر در شرق و مرکز کانسار دیده می‌شوند. آنها اغلب فاقد کانی‌سازی و دگرسانی هستند و تنها، هوازدگی بر بعضی از آنها اثر کرده است. ضخامت دایک‌ها در منطقه از ۵/۰ تا ۱ متر و طول آنها بین ۱۰۰ و ۲۰۰ متر است.

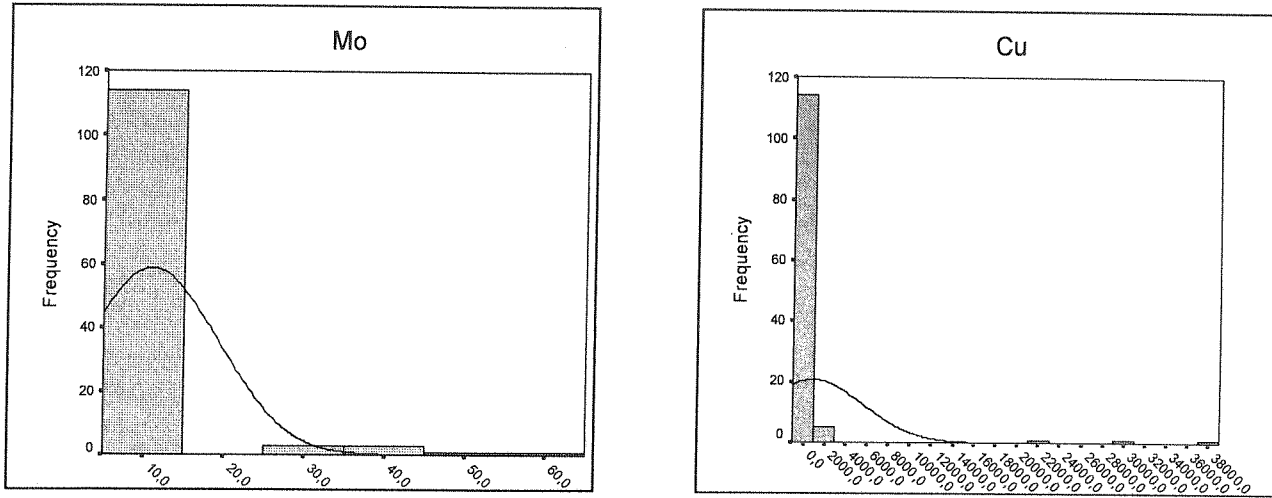
۳-۵- مآگماتیسم منطقه

در منطقه جوزم، پنج فاز آتشفسانی وجود دارد. فاز اول به ائوسن پیشین متعلق است و شامل آگلومرا، ایگنبریت، لایلی‌توف، تراکی‌آندزیت و آندزیت است. فاز دوم (ائوسن میانی) شامل آذرآواری‌ها، بازانیت، آگلومرا، ایگنبریت، لایلی‌توف، تراکی‌آندزیت و آندزیت است. فاز سوم شامل فعالیت آتشفسانی ائوسن میانی است و ترکیب فنولیت،

شامل اکسیدی، کلریتی، کربناتی و سریسیتی شدن و به میزان بسیار کمتر، اپیدوتی، سیلیسی و رسی‌شدن است. ترکیب کانی‌شناسی این واحد، آلبیت، ارتسوکلان، هورنبلنده، درشت‌بلورهای پیروکسن، کوارتز، کلسیت، مسکویت، هماتیت، مالاکیت و زمینه‌ای دانه‌ریز را شامل می‌شود. تقریباً در همه این سنگ‌ها، کانی‌های کدر (opaque minerals) به مقدار فراوان وجود دارند که این کانی‌ها با توجه به مطالعه مقاطع صیقلی، بیشتر از جنس اکسیدهای آهن (هماتیت و لیمونیت) می‌باشند. ذکر این نکته لازم است که در بعضی از آندزیت‌ها؛ که در نمونه دستی رنگ تیره‌تری دارند، در مطالعه مقاطع میکروسکوپی، رخداد کانی‌های کدر، بیشتر در زمینه سنگ، حاشیه کانی‌ها و به صورت بافت جانشینی و برجای‌مانده (relict texture) در پلاژیوکلازها و کانی‌های مافیک دیده می‌شود [۳]. این سنگ‌ها بافت پورفیری از پلاژیوکلازهای دانه‌درشت در یک زمینه دانه‌ریز دارند. در بعضی از این سنگ‌ها، رگچه‌های ریز کربناتی و کوارتزهای ریزبلورین (چرت) به صورت ثانویه مشاهده می‌شود [۳].

آنزی‌بازالت: این واحد در نمونه دستی با رنگ خاکستری تیره تا کاملاً تیره مشخص شده است و بیشتر در بخش‌های شرقی و جنوب‌شرقی و با حداقل ارتفاع ۲۴۵۰-۲۳۰۰ متر دیده می‌شود. در نمونه دستی، نسبت به واحد آندزیت، رگه و رگچه‌های سیلیسی کمتری دارد. در مقطع نازک، با بافت پورفیری و فلدسپارهای ریزدانه و درشت‌بلورهای کانی‌های آهن-منیزیم‌دار مشخص است. قسمت عمدۀ آمفیبول و پیروکسن این سنگ‌ها، دگرسان و به وسیله کانی‌های ثانویه پر شده‌اند. زمینه ریزبلورین شامل کانی‌های مشابه با درشت‌بلورها، کانی‌های کدر و انواعی از ترکیبات ثانویه است [۱۸].

دیوریت‌پورفیری و کوارتزدیوریت‌پورفیری: این نوع سنگ‌ها بیشتر در بخش‌های مرکزی کانسار و کمتر در شمال‌غرب منطقه گسترش دارند. سنگ‌های مزبور، بخشی از توده‌های عظیمی هستند که با روند NE-SW در شمال‌غرب و جنوب‌شرق منطقه مشاهده می‌شوند [۱۸]. حداقل ارتفاع این توده‌ها بین ۲۴۵۰ تا ۲۶۰۰ متر است و در منطقه از فاصله دور با رنگ سفید تا زرد کمرنگ مشخص هستند. تفاوت این دو نوع سنگ در میزان کوارتز اولیه آنهاست. گسترش واحد دیوریت‌پورفیری نسبت به کوارتزدیوریت‌پورفیری در منطقه بیشتر است. این توده‌های نفوذی در داخل سنگ‌های آتشفسانی ائوسن نفوذ کرده‌اند. دایک‌هایی نیز با همین ترکیب و بیشتر با روند شمال‌غربی-جنوب‌شرقی و با طول بیش از ۵۰ متر در منطقه مشاهده می‌شوند. رگه‌های کوارتزی بسیار فراوان بخصوص



شکل (۳): هیستوگرام فراوانی عناصر مس و مولیبden در کانسار ایجو

۴-۱- تجزیه و تحلیل پارامترهای آماری عناصر شاخص مس (Cu): بررسی آماری عنصر مس به عنوان اصلی‌ترین عنصر در کانسارهای مس پورفیری حائز اهمیت است. در بررسی‌های لیتوژئوشیمیایی نمونه‌های سنگی سطحی، مقدار میانه مس، ۷۹ ppm و میانگین، ۸۸۷ ppm به دست آمد. همان‌گونه که در شکل (۳) مشخص است، نمودار فراوانی مقادیر عنصر مس از توزیع نرمال تبعیت نکرده است و چولگی واضحی به سمت راست از خود نشان می‌دهد که این امر حاکی از لگاریتمی بهنجار (lognormal) بودن تابع توزیع مقادیر مس و همچنین تأثیر شدید دگرسانی در منطقه است. مناطق حاوی آنومالی بیشتر در بخش‌های مرکزی کانسار و گاهی در بخش‌های شمالی و جنوبی قرار گرفته‌اند. از طرف دیگر می‌توان دو خانواده کاملاً مجزا در نمودار فراوانی مقادیر مس مشاهده کرد که یکی در بیشینه ppm ۲۰۰۰ و دیگری در ۳۷۳۰۰ ppm است. این تفکیک خانواده‌ها، نقش بسزایی در جدایش زمینه ژئوشیمیایی از مقادیر بی‌هنجری (anomaly) دارد [۱۱، ۱۷]. این مقادیر بی‌هنجری به عنوان مناطق امیدبخش برای کانی‌سازی اقتصادی در نظر گرفته می‌شوند.

مولیبden (Mo): در بررسی‌های لیتوژئوشیمی انجام شده، مقادیر میانگین و میانه عنصر مولیبden به ترتیب ۱۱ و ۹ ppm است. بیشینه عیار به دست آمده، شکل (۳) توزیع فراوانی مقادیر عنصر مولیبden را نیز نشان می‌دهد.

سرب (Pb): نمودار توزیع فراوانی عنصر سرب، چولگی شدیدی به سمت راست از خود نشان می‌دهد و به طور واضح از حالت تابع توزیع بهنجار (normal)، انحراف یافته است. در مورد عنصر سرب، همانند مس، دو خانواده کاملاً مجزا از هم

تفری‌فنولیت، آندزیت-بازالت و برش آتش‌فشانی دارد. فاز چهارم شامل تراکی آندزیت و بازالت و سنگ‌های آذرآواری است. فاز پنجم مشتمل بر نفوذی‌های نیمه عمیق (subvolcanic) است [۴].

۴- مطالعات لیتوژئوشیمی داده‌های سطحی

به منظور انجام عملیات نمونه‌برداری سنگی برای مطالعات لیتوژئوشیمی در منطقه ایجو، بعد از مرحله مشاهدات صحرایی و شناخت تغییرات سنگ‌شناختی، یک شبکه نمونه‌برداری طراحی شد. به این ترتیب که خط مبنا (base line) مرکزی نمونه‌برداری در راستای نقاط کانه‌زایی شده قرار گرفت و دو طرف این خط مبنا از هر طرف خطوط نمونه‌برداری دیگر با فاصله مشخص تعیین شد. شبکه نمونه‌برداری به ابعاد $2/75 \times 2/5$ کیلومتر و با سلول‌هایی به ابعاد 100×100 متری، طراحی شد. در این طراحی، سعی شد که محدوده زون‌های دگرسانی-کانی‌سازی و همچنین محدوده عملکرد فرآیندهای ساختمانی مدنظر قرار گیرند. در بعضی موارد که سطح محدوده از آبرفت پوشیده شده بود و یا رخمنون سنگی وجود نداشت، نمونه‌ای برداشت نگردید. برای جلوگیری از آلودگی نمونه‌ها، تمامی مراحل آماده‌سازی، با دقت انجام و نمونه‌ها برای اکسیدهای SiO_2 , Al_2O_3 , CaO , MgO , Na_2O , K_2O و Fe_2O_3 و عناصر فرعی Zn , Pb , Mo , Cu و XRF به روش‌های AAS و نیز تعدادی از نمونه‌ها برای اطمینان بیشتر به روش شیمی مرطوب در آزمایشگاه مرکزی مجتمع مس سرچشمه تجزیه شدند. داده‌های حاصل، تحت برنامه‌های آماری و زمین‌آماری، تجزیه و تحلیل شده‌اند.

جدول (۱): همبستگی چندگانه ژئوشیمیایی عناصر در کانسار ایجو

Al_2O_3	۱									
K_2O	0.050	۱								.
CaO	0.283	-0.416	۱							
Fe_2O_3	0.276	-0.198	0.299	۱						
SiO_2	-0.246	0.346	-0.480	-0.607	۱					
MgO	0.121	-0.211	0.214	0.119	-0.208	۱				
Na_2O	-0.034	-0.119	0.177	0.041	-0.355	0.151	۱			
Cu	-0.293	0.081	-0.215	0.142	0.061	0.062	-0.082	۱		
Pb	0.085	0.258	-0.241	0.073	0.095	-0.113	-0.095	0.018	۱	
Zn	0.426	-0.132	0.052	0.225	-0.302	0.094	0.135	0.014	0.047	۱
Mo	-0.306	0.179	-0.178	0.116	0.095	0.031	0.023	0.408	-0.132	-0.194
Al_2O_3	K_2O	CaO	Fe_2O_3	SiO_2	MgO	Na_2O	Cu	Pb	Zn	Mo

قابل تفکیک است که محدوده تغییرات سرب از ۱۰ تا ۵۱۷۰ ppm است. مقدار میانگین و میانه این عنصر به ترتیب ۱۲۹ ppm و ۴۴ ppm است. روی (Zn): نمودار توزیع فراوانی عنصر روی، چولگی واضحی به سمت راست از خود نشان می‌دهد. مقدار میانگین و میانه این عنصر به ترتیب ۱۴۷ و ۷۱ ppm و محدوده تغییرات آن از ۶ تا ۱۶۲۳ ppm است.

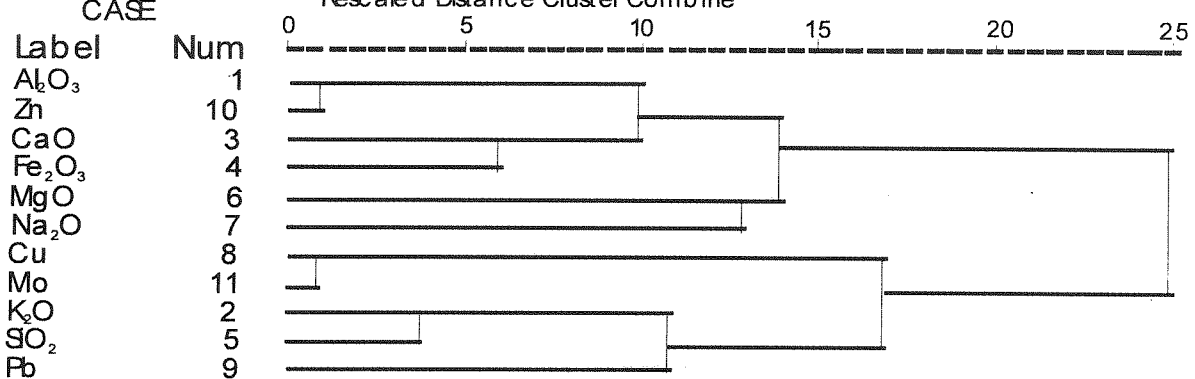
تھیه نقشه‌های هم‌عیار ژئوشیمیایی عناصر معرف: به منظور تعیین نقاط مستعد کانسارسازی مس و پی‌بردن به غنی‌شدگی و یا تھی‌شدگی عناصر معرف در کانسار ایجو، نقشه‌های هم‌عیار مس، مولیبدن، سرب، روی و اکسیدهای عناصر اصلی تھیه شد. در نقشه هم‌عیار پراکندگی ژئوشیمیایی عنصر مس، دو منطقه بی‌هنگاری مشخص است، یکی منطبق بر رخمنون توده کوارتزدیوریت و دیوریت‌پورفیری در بخش‌های مرکزی کانسار با عیار حدکثر ۲/۷۳ درصد و دومین بی‌هنگاری در همبیری توده‌های نفوذی با سنگ‌های میزبان داسیتی در بخش‌های غربی کانسار. کشیدگی شکل هاله‌های ژئوشیمیایی مس در کانسار ایجو با روند شمال‌غربی-جنوب‌شرقی است که احتمالاً حاکی از کشیدگی شمالی-جنوبی استوک پورفیری ایجو می‌باشد. بالاترین عیار مس در منطقه، نزدیک به محل حفاری ۱۸ است که به نظر می‌رسد حضور رگه و رگچه‌های ملاکیت در نمونه‌های سنگ بستر، چنین عیار بالایی را موجب شده است. عیار حدود ۰/۱۱ درصد در بخش جنوبی کانسار را نیز می‌توان به کانی‌سازی مس به صورت ملاکیت در سنگ‌های آتش‌نشانی و آذرآواری اثوسن مربوط دانست (شکل (۵) و (۶)).

شکل (۴) مشاهده می‌شود، در فاصله ۲۵+ بیشترین مقدار عدم تشابه این متغیرها همگی در یک گروه قرار می‌گیرند. همچنین عناصر مس و مولیبدن با اکسیدهای اصلی SiO_2 و K_2O همبستگی خوبی آشکار می‌سازند، به طوری که با هم یک زنجیره را در نمودار خوش‌های تشکیل می‌دهند. همبستگی‌های خوش‌های نیز وجود کانی‌سازی مس و مولیبدن در زون دگرسانی-کانی‌سازی فیلیک را تأیید می‌کنند.

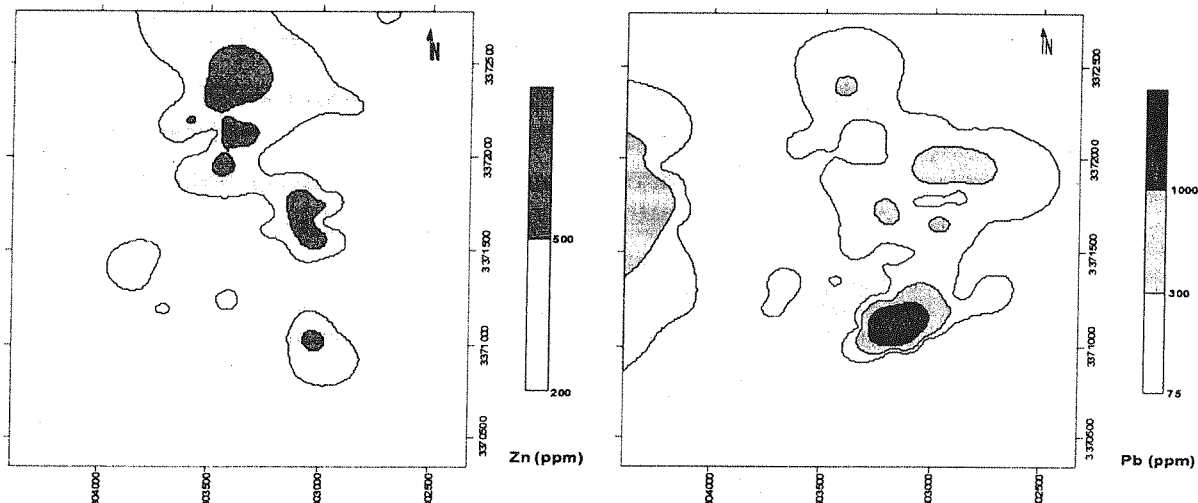
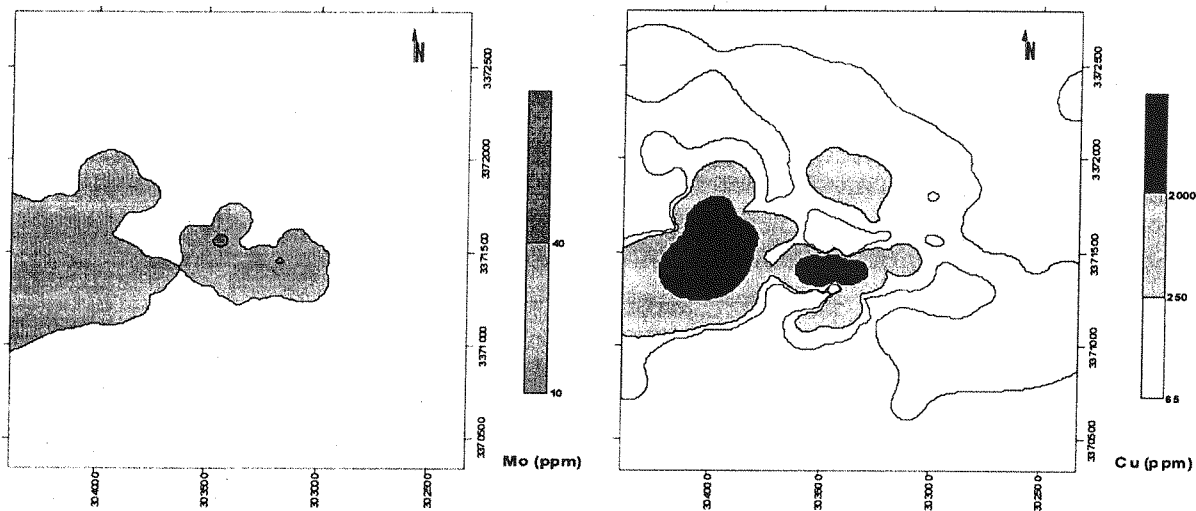
۴-۲- همبستگی ژئوشیمیایی عناصر همبستگی‌های چندگانه: هنگامی که همبستگی بین دو متغیر بررسی می‌شود، همبستگی را ساده و برای بیش از دو متغیر، همبستگی را چندگانه می‌نامند. جدول (۱) همبستگی چندگانه بین ۱۱ متغیر بررسی شده در کانسار ایجو را نشان می‌دهد. بیشترین میزان همبستگی عنصر مس با عنصر مولیبدن و میزان آن ۰/۴۰۸ است که حاکی از هم‌منشا بودن این دو عنصر است. علاوه بر این، عنصر مس، ارتباط ضعیف ولی مثبتی را با اکسیدهای سیلیسیم، پاتاسیم و آهن نشان می‌دهد که بر گسترش محدوده کانی‌سازی مس در زون فیلیک دلالت دارد. عنصر مس با اکسید کلسیم ارتباط منفی نشان می‌دهد که حاکی از عدم گسترش کانی‌سازی مس در بخش‌هایی است که تحت تأثیر دگرسانی کلسیتی‌شدن قرار گرفته‌اند. همچنین، مس با اکسید منیزیم، ارتباط مثبت ضعیفی را ظاهر می‌سازد که می‌تواند نشان‌دهنده وجود کانی‌سازی مس در خصوص دگرسانی کلریتی در بخش‌هایی از کانسار باشد. در ضمن، عدم وجود همبستگی بین عنصر مس و اکسید آلومینیم را می‌توان دلیلی بر عدم وجود کانی‌سازی اقتصادی مس در زون آرژیلیک کانسار ایجو دانست [۲].

همبستگی‌های گروهی (خوش‌های): عناصر مس و مولیبدن بیشترین تشابه و کمترین فاصله (۱) را دارند و در یک شاخه قرار می‌گیرند. عنصر روی نیز با اکسید آلومینیم بیشترین تشابه و کمترین فاصله (۱) را نشان می‌دهد. همان‌طور که در

*** HERARCHICAL CLUSTER ANALYSIS***
Dendrogram using Average Linkage (Between Groups) at Iju
Rescaled Distance Cluster Combine



شکل (۴): نمودار همبستگی خوشای مربوط به منطقه ایجو

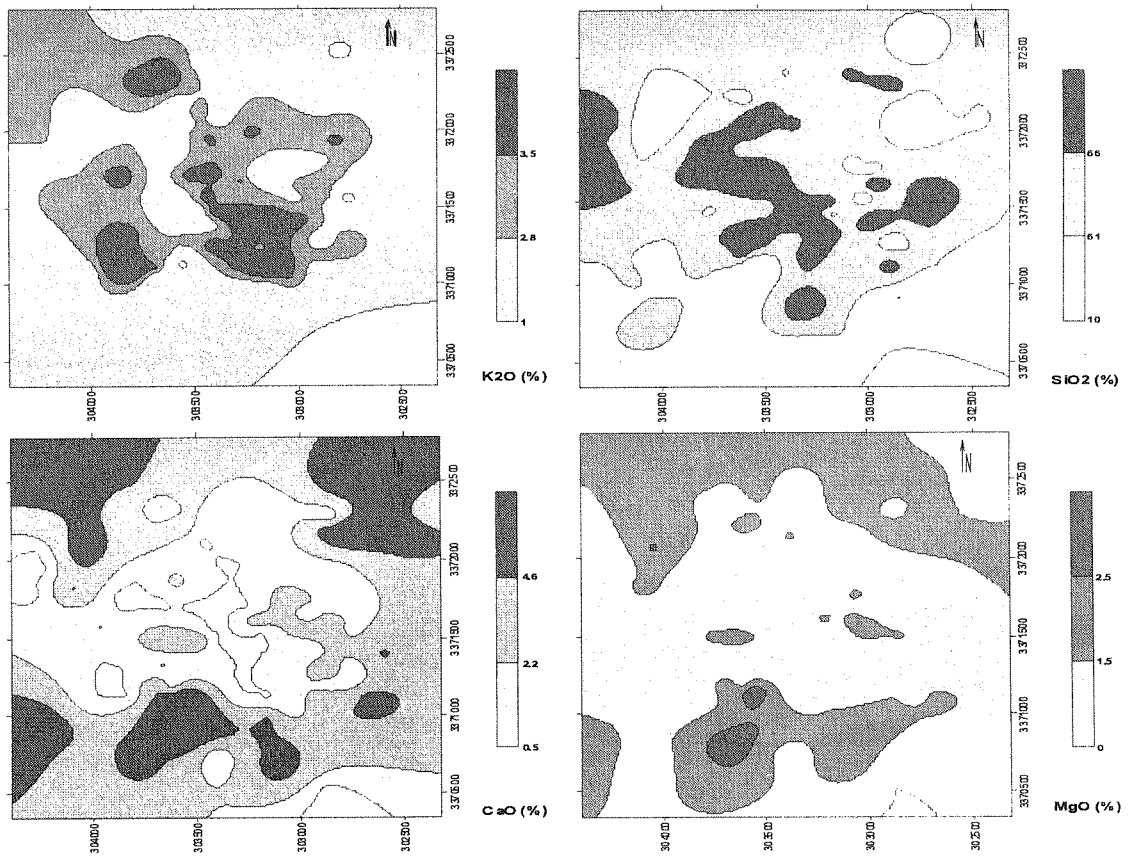


شکل (۵): نقشه هم عیار عناصر مس، مولیبден، سرب و روی در منطقه ایجو

بیشترین هاله‌های عناصر تحت‌کانساری در شرق و جنوب کانسار و بیشترین هاله‌های عناصر فوق‌کانساری در بخش‌های مرکزی دیده می‌شود. بررسی‌های انجام‌یافته دال بر آن است که شدت فرسایش در بخش‌های مرکزی، بیشتر از حاشیه‌های کانسار است. نقشه زمین‌شناسی منطقه (شکل (۲))، وجود یک

۴-۳- تعیین موقعیت سطح فرسایش نسبت به سطح کانی‌سازی احتمالی

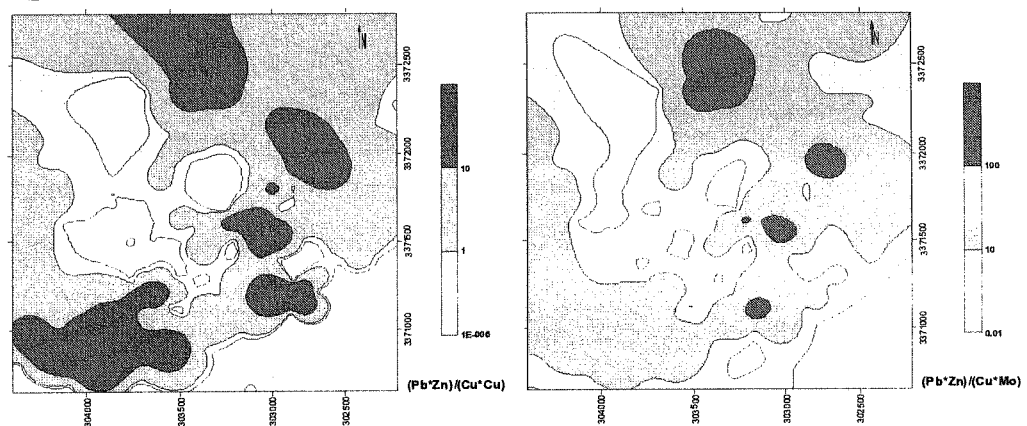
چنانچه مس و مولیبден را به عنوان عناصر تحت‌کانساری و سرب و روی را به عنوان عناصر فوق‌کانساری در نظر بگیریم،



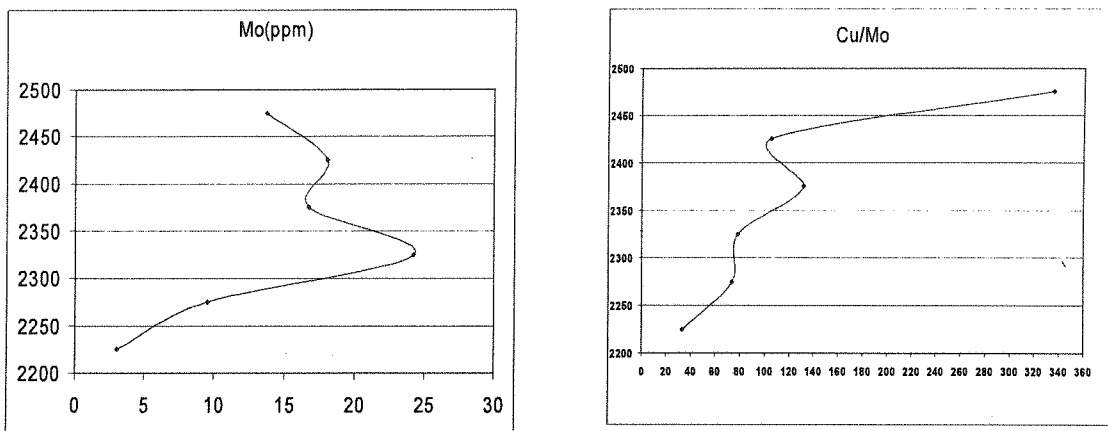
شکل (۶): نقشه هم‌عیار اکسیدهای سیلیسیم، پتاسیم، منیزیم و کلسیم در منطقه ایجو

مس و مولیبدین در اعماق است. بالاترین تمرکز Mo در افق ۲۲۲۵ متری و کمترین تمرکز آن در افق ۲۲۲۵ است (شکل (۸)). یادآور می‌شود که کاهش میزان مس نسبت به مولیبدین شدت بیشتری دارد. کم شدن عیارهای مس و مولیبدین از افق ۲۳۲۵ به بعد می‌تواند نشان‌دهنده بخش انتهایی کانسار باشد. همان‌طور که در شکل (۸) دیده می‌شود، مقادیر مولیبدین در بخش‌های پایینی کانسار نسبت به مس دارای بیشینه‌ای است که با روند منطقه‌بندی طبیعی در کانسارات مس پورفیری $(Mo \rightarrow Cu \rightarrow Ag \rightarrow Pb \rightarrow Zn)$ هماهنگی دارد.

گسل اصلی در بخش مرکزی کانسار و چندین گسل کوچک دیگر را در اطراف آن مشخص می‌نماید. سطح فرسایش در دو طرف گسل اصلی با امتداد شمال‌غربی-جنوب‌شرقی قرار دارد و شدت آن در دو طرف این گسل متفاوت است (شکل (۷)). علاوه بر این، نقش شبیه توپوگرافی عمومی منطقه (شرق-جنوب‌شرقی) را در انتقال عناصر فوق‌کانساری به بخش‌های حاشیه‌ای کانسار نباید نادیده گرفت (شکل (۷)). بررسی روند منطقه‌بندی قائم: هدف از بررسی منطقه‌بندی (zonality) در کانسارات ایجو، تشخیص روند تغییرات کانی‌سازی



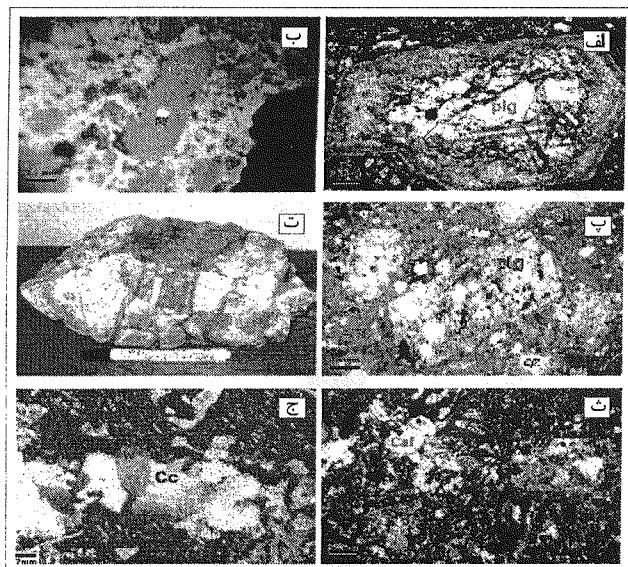
شکل (۷): نمودار ضرایب منطقه‌بندی ضربی Zn^*Pb / Cu^*Cu و Zn^*Pb / Cu^*Mo در منطقه ایجو



شکل (۸): نمودار تغییرات عیار مس به مولیبden نسبت به عمق در کانسار ایجو مشاهده می‌شوند، می‌تواند حاصل هجوم سیالات غنی از سیلیس باشد. واحدهای دیوریتی و کوارتزدیوریتی نیز به شدت تحت تأثیر سیلیسی شدن قرار گرفته‌اند.

دگرسانی آرژیلیک: این دگرسانی در کانسار ایجو از گسترش زیادی برخوردار نیست، اما مجموعه کانی‌های رسی به صورت محلی و پراکنده، داخل زون فیلیک مشاهده می‌شوند. دگرسانی مذبور با همبود کانی‌های رسی، سریسیت و کلسیت و نیز رنگ روشن خود در منطقه مشخص است (شکل (۹-پ و ت)).

دگرسانی پروپیلیتیک: دگرسانی پروپیلیتیک به صورت هاله‌ای سبز رنگ در خارجی‌ترین قسمت‌های کانسار مشاهده می‌شود و منطبق بر سنگ‌های دیواره است و به طور محلی در برخی از دایک‌ها رخ داده است. آندزیت‌هایی که دگرسانی پروپیلیتیک را تحمل کرده‌اند، اغلب دانه‌ریز هستند و به رنگ سبز روشن تا



شکل (۹): (الف) سریسیتی شدن حاشیه پلاژیوکلاز در دیوریت، (ب) همراهی کوارتز و پیریت، (پ) شاخص دگرسانی آرژیلیک در داسیت، (ت) دگرسانی آرژیلیک بروزن زاد با سیلیسی شدن درون زاد، (ث) شاخص دگرسانی پروپیلیتیک در آندزیت، (ج) رگه کربناتی

۵- دگرسانی

منطقه‌بندی دگرسانی و کانه‌زایی؛ که از مهم‌ترین مشخصات کانسارهای مس پورفیری است [۱۰]، در مورد کانسار ایجو بررسی شد. دگرسانی‌ها از شدت و درجات مختلفی برخوردار است و بیشتر در توده‌های نفوذی و سنگ‌های آتش‌نشانی و آذرآواری‌های اؤسن گسترش دارند. محدوده دگرسانی حدود ۱ کیلومتر مربع وسعت دارد و شامل انواع دگرسانی‌های پتاسیک ضعیف، فیلیک، آرژیلیک، پروپیلیتیک [۳] و یک سری دگرسانی‌های غیرفراگیر همانند کلریتی، اپیدوتی، کلسیتی و رسی‌شدن است [۹] که به طور محدود دیده می‌شوند.

دگرسانی پتاسیک: این دگرسانی در کانسار ایجو با حضور بیوتیت ثانویه؛ که به طور محلی در بخش مرکزی کانسار قابل مشاهده است، مشخص می‌شود. با توجه به اینکه در توده نفوذی ایجو، کانی‌های بیوتیت و هورنبلند تحت تأثیر دگرسانی پتاسیک قرار گرفته‌اند و مقدار کمی کانی ارتوز ثانویه تشکیل شده، تبدیل هورنبلند و بیوتیت ماقمایی به بیوتیت ثانویه به توده نفوذی ایجو مربوط است. دگرسانی کلریتی، بیوتیت‌های ثانویه را نیز تحت تأثیر قرار داده است که آن را می‌توان حاصل کاهش غلظت یون پتاسیم نسبت به یون هیدروژن در سیال گرمابی دانست [۶].

دگرسانی فیلیک: دگرسانی فیلیک؛ که توده نفوذی ایجو و سنگ‌های درونگیر را تحت تأثیر قرار داده است، با رنگ روشن خود مشخص است و گسترش قابل توجهی را در منطقه نشان می‌دهد. همان‌گونه که در شکل (۹-الف و ب) مشاهده می‌شود، حاشیه پلاژیوکلاز در حال تبدیل شدن به سریسیت است و نیز همبود کوارتز و پیریت مشاهده می‌شود که این از ویژگی‌های زون فیلیک است. غالب حفرات خالی در بخش‌های سطحی؛ که اکسیداسیون شدیدی تحمل کرده‌اند، به کانی‌های پیریت مربوط است. رگه و رگچه‌های فراوان سیلیسی؛ که در زون فیلیک

سبز تیره همراه با رگه و رگچه‌های فراوان کوارتز، کلسیت و اپیدوت دیده می‌شوند. مطالعات میکروسکوپی نشان می‌دهد که زمینه این سنگ‌ها به مجموعه‌های کلریتی و اپیدوتی تبدیل شده است. همچنین حضور رگه و رگچه‌های اپیدوتی، زوئیزیتی و کلسیتی به همراه کانی‌های کدر در متن سنگ‌ها، نشان دهنده دگرسانی پروپیلیتیک است (شکل (۹-ث)).

می‌شود [۳]. عمدترين کانی‌های سولفیدی اين زون شامل پيريت، كالكوبيريت و به ميزان جزئی، موليبيدينit است. عيار من در اين بخش معمولاً كمتر از ۰/۲ درصد و به درت به ۰/۴ درصد می‌رسد [۹].

کانسارسازی بروزن زاد: غنی‌سازی سولفیدی در کانسار ايجو غير واضح است و منطقه‌بندی خاصی را تشکيل نمی‌دهد. مهم‌ترین کانی‌های سولفیدی در اين بخش شامل كالكوسیت، دیژنیت، مس طبیعی و به ميزان بسیار جزئی، کوبیريت است. در بخش اکسیدان نیز مهم‌ترین کانی‌های تشکيل شده شامل مالاکیت، آزوریت، هماتیت، گوتیت، ژاروسیت و لیمونیت است.

۷- میکروترموتری سیالات درگیر

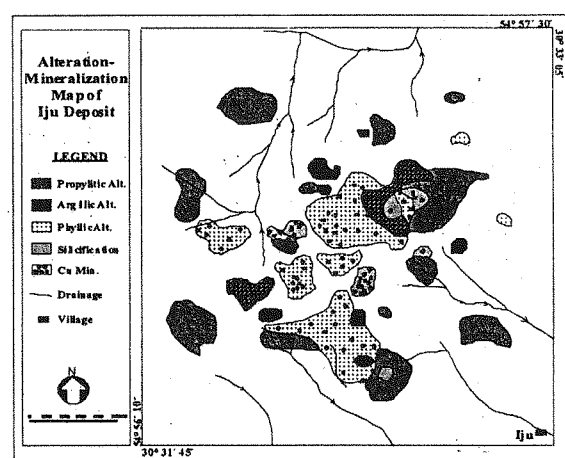
در کانسار ايجو، تنها کانی شفاف و مناسب برای مطالعات میکروترموتری سیالات درگیر، کوارتز است. نمونه‌های بررسی شده از محدوده زون‌های دگرسانی فیلیک و آرژیلیک برداشت شد. اکثر سیالات درگیر بسیار ریز و با قطر ۳ تا ۹ میکرون هستند. بزرگترین سیالات از نوع سه‌فازی است و در مجموع، سیالات درگیر دوفازی از فراوانی بیشتری برخوردار هستند. بیشترین فراوانی داده‌ها به دمای اولین نقطه ذوب بین ۲۲-۳۰ تا ۳۰ درجه سانتی‌گراد مربوط است و نقطه یوتکنیک نه‌چندان منفی را نشان می‌دهند که حاکی از شوری کم سیال کانسارساز اولیه و رقیق‌شدن سیال کانسارساز با آب‌های جوی فرورو است (شکل (۱۱)) [۱۹]. دامنه تغییرات ذوب کامل T_m بین از ۱۸-۲۰ تا ۴۲ درجه سانتی‌گراد است. هر چه T_m به دست آمده منفی‌تر باشد، گویای شوری بیشتر سیال کانسارساز است که بیشترین مقدار داده‌ها (T_m) به محدوده دمایی ۲۰-۲۶ تا ۴۴ درجه سانتی‌گراد و حدود ۲/۷٪ کل داده‌ها مربوط می‌باشد. با توجه به اینکه از روی ذوب آخرین قطعه بین می‌توان میزان شوری را به دست آورد، میزان سیالات با شوری متوسط و بالا؛ که برای کانسارسازی تیپ پورفیری حائز اهمیت هستند، در نمونه‌های مربوط به کانسار ايجو بسیار کم است و متوسط درجه شوری، ۲۴/۶ درصد وزنی معادل نمک طعام است. همچنان با توجه به هیستوگرام فراوانی داده‌های مربوط به شوری سیال و وجود دو افتادگی (salinity gap)، سه جمعیت کاملاً متفاوت را می‌توان جدا کرد (شکل (۱۱)), که بیشترین فراوانی شوری سیال‌ها به شوری متوسط و حتی کم مربوط است. همان‌طور که مشخص است، در منطقه ايجو، سیالات با شوری بالا برای کانسارسازی پورفیری بسیار کم است که دلیلی بر مخلوط‌شدگی آب‌های جوی و سیالات گرمابی

کربناتی شدن: در بیشتر سنگ‌های آتشفسانی و آذرآواری‌های منطقه، رگچه‌های کربناتی از جنس کلسیت (شکل (۹ج)) مشاهده می‌شود. کلسیت به صورت جانشینی در کانی‌های مانند پلاژیوکلاز نیز حضور دارد. حضور دیگری از کلسیت به صورت شکافه‌پرکن به تنها و یا همراه با کوارتز دیده می‌شود. از میان سایر دگرسانی‌ها؛ که از رخداد کمتری برخوردار هستند، می‌توان به جانشینی اکسیدهای آهن (به خصوص هماتیت و لیمونیت) درون کانی‌های آهن-منیزیم‌دار دگرسان شده و نیز در زمینه سنگ‌ها به صورت بافت‌های جانشینی یا برچای مانده اشاره کرد. شکل (۱۰) نقشه انواع دگرسانی-کانه‌زایی در کانسار ايجو را نشان می‌دهد.

۶- کانه‌زایی

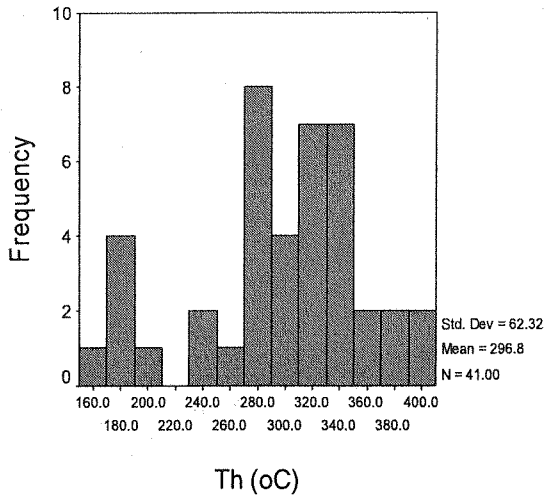
کانه‌زایی در کانسار ايجو به شکل انتشاری و رگچه‌ای دیده می‌شود. کانه‌زایی مس بیشتر در استوک پورفیری ايجو در بخش مرکزی و سنگ‌های آندزیتی دیواره غربی رخ داده است و فاز نفوذی تأخیری و دایک‌ها تقریباً عاری از کانه‌زایی هستند (شکل (۱۰)).

کانسارسازی درون زاد: منطقه کانی‌سازی اولیه؛ که در نتیجه تأثیر سیالات ماگمایی-گرمابی کانه‌دار تشکیل می‌شود [۱۰]، در منطقه ايجو به صورت استوکورک و شکستگی‌های آغازته به اکسیدهای آهن، مالاکیت و آزوریت؛ که با توده نفوذی دیوریت و کوارتزدیوریت پورفیری ارتباط دارد، مشاهده



شکل (۱۰): نقشه دگرسانی-کانه‌زایی در کانسار ايجو [۳]

کیلومتر، محدوده حرارتی ۳۰۰ تا ۳۷۰ درجه سانتیگراد، فشار ۱۵۰۰ تا ۲۰۰۰ بار و شوری ۲۵ تا ۵۸ درصد وزنی نمک طعام قرار می‌گیرند [۵]، [۱۲] و [۱۳].



شکل (۱۲): هیستوگرام فراوانی درجه حرارت همگن شدن

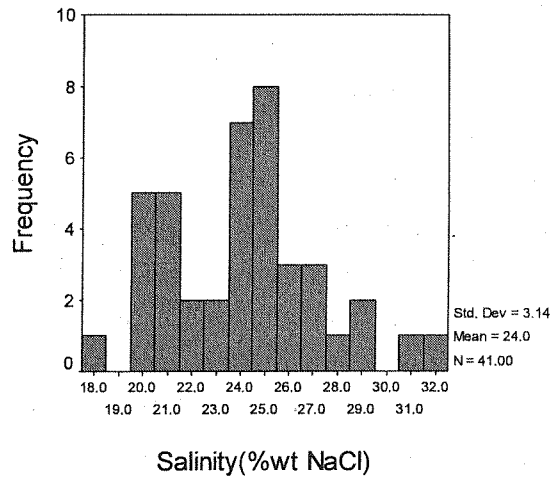
درجه حرارت پایین و نیز شوری کم در سیالات ممیزه سیستم ایجو، بر بارور نبودن سیستم دلالت دارند. این رخداد می‌تواند حاصل نقش بسیار پررنگ سیالات با منشأ جوی در تکوین مجموعه باشد. با در نظر گرفتن این پیش‌فرض که سیالات با منشأ ماقمایی در دامنه حرارتی ۵۵۰ تا ۶۰۰ درجه سانتیگراد نصیح گرفته باشند [۱۴]، در ایجو دو رخداد ممکن است قابل ارزیابی باشد:

(۱) بر اثر یک شکستگی حجیم در سیستم و در پیامد آن یک انتقال حرارت بسیار آنی ایجاد شده است، به طوری که احتمال واکنش سیالات اولیه با سنگهای میزبان بسیار کم و ایجاد تعادل سازنده در سیستم منطقی شده باشد (isopressure decomposition).

(۲) در پیامد مرحله (۱) شرایط مناسبی برای اختلاط حجیمی از آبهای سردتر جوی با سیالات ماقمایی؛ که حالا از حرارت مناسبی برای نفوذ سیالات غریب برخوردار است، ایجاد شده باشد (mixing).

با توجه به اطلاعات قابل بسط در ایجو می‌توان مدل پیشنهادی در شکل (۱۲) را ارائه کرد. شکل (۱۲) سازوکار تشکیل سیالات مولد موجود در ایجو را بر اساس فشار و حرارت در سیستم آب-نمک نشان می‌دهد. همزیستی سیالات درگیر وجود گاز و مایع در یک کانی میزبان با درجه حرارت هموژن شدن بسیار نزدیک، بر رخداد جوشش در ایجو دلالت دارد. روند مشخص شده با پیکان در مدل، روند دقیق کاهش ناگهانی فشار و حرارت را در تکوین سیالات مزبور نشان می‌دهد. نقطه X نشان‌دهنده شرایط فشاری و حرارتی سیال جوی است که به نفوذ در سیستم شروع می‌کند. این سیال در حین حرکت به

می‌باشد که نهایتاً باعث گسترش زون فیلیک کم‌عیار شده است. این افتادگی می‌تواند بیانگر فرآیند جوشش در سیال اولیه باشد، که خاص بسیاری از سیستم‌های پورفیری است. ذکر این نکته لازم است که به دلیل حضور فاز جامد هالیت در این سیالات درگیر، می‌توان نتیجه‌گیری کرد که کپلکس‌های کلریدی ($CuCl_2$) در انتقال مس دخالت داشته‌اند [۱۱]. همچنین، همراهی سیالات درگیر تکفازی گازی و چندفازی؛ که در مطالعه پتروگرافی سیالات درگیر این کانسار مشاهده می‌شود، دال بر جوشش است، و به تبع آن به نظر می‌رسد که تمامی مس موجود در محلول نهشته شده باشد. مطالعات ژئوشیمیایی؛ که بر روی نمونه‌های بخش فیلیک صورت گرفته است، نشان‌دهنده عیارهای پایین مس است.



شکل (۱۱): هیستوگرام فراوانی شوری

در مجموع می‌توان اظهار داشت که سیال کانسارساز اولیه در کانسار ایجو، از نظر مس فقیر است و وجود مس در اعمق بیشتر نیز بعيد به نظر می‌رسد، چون در محلی که جوشش اتفاق افتاده، سیال هر آنچه محتوای مس داشته باشد، بر جای می‌گذارد [۱۶]. در کانسار ایجو، میانگین عیار مس ۸۸۷ ppm است. همچنین با توجه به هیستوگرام دمای همگن شدن این سیال‌ها، دو جمعیت دمایی قابل تفکیک است: یکی در محدوده دمایی ۱۶۰ تا ۲۶۰ درجه سانتیگراد مربوط به سیال‌های موجود در رگه‌های کوارتزی در زون آرژیلیک، و دیگری در محدوده ۲۶۰ تا ۴۰۰ درجه سانتیگراد که به نمونه‌های زون دگرسانی فیلیک مربوط است (شکل (۱۲)). با توجه به اندازه‌گیری‌های صحرایی انجام شده، متوسط لایه‌های زمین‌شناسی شامل طبقات پیروکلاستیک و آندزیتی به ضخامت حدود ۵۰۰ متر و وزن مخصوص متوسط ۲/۶، فشار معادل ۱۲۵ بار در هنگام جایگزینی سیستم تخمین زده می‌شود [۲۰]، که همگی شواهدی بر فراسایش زیاد کانسار ایجو هستند. به طور کلی، اکثر معادن مس پورفیری ایران در عمق ۱/۵ تا ۲

۸- نتیجه‌گیری

انواع دگرسانی‌های اصلی شامل فیلیک، پتاسیک، آرژیلیک و پروپیلیتیک و دگرسانی‌هایی که از گسترش کمتری برخوردارند شامل کربناتی، کلریتی و اپیدوتی شدن در کانسار ایجو قابل تشخیص هستند. دگرسانی فیلیک بیشتر در بخش‌های مرکزی کانسار و منطبق بر رخمنون توده‌های نفوذی و همچنین منطبق بر بیشترین میزان کانه‌زایی مس و مولیبدن است. دگرسانی آرژیلیک با دگرسانی فیلیک مرز تدریجی دارد. بیشتر سیالات درگیر موجود در زون‌های دگرسانی منطقه کانه‌زایی شده، دوفازی، کوچک با شوری پایین (متوسط دمای همگن شدن ۲۴/۶ درصد وزنی معادل نمک طعام) و متوسط دمای همگن شدن ۲۹/۸ درجه سانتی‌گراد هستند که همگی شواهدی بر قریب بودن میزان مس در سیال گرمابی اولیه منتج شده از توده نفوذی پورفیری ایجو است. تمامی مس موجود؛ که به صورت کالکوپیریت نهشته گشته است، در اثر اکسیدشدن سطحی به ملاکیت و آزوریت تبدیل شده است. با توجه به نتایج حاصل از مطالعات لیتوژئوژیمی (که زمینه محلی مس در منطقه را بسیار پایین نشان داده است) و نیز نتایج حاصل از بررسی‌های میکروترموتری سیالات درگیر (قریب بودن سیال کانسارساز اولیه از مس)، و همچنین با بازسازی شرایط شیمی-فیزیکی حاکم بر کانسار هنگام نصف آن، می‌توان ادعان داشت که در حال حاضر این کانسار اقتصادی نیست و سرمایه‌گذاری برای اکتشافات تفصیلی بر روی آن در حال حاضر پیشنهاد نمی‌شود.

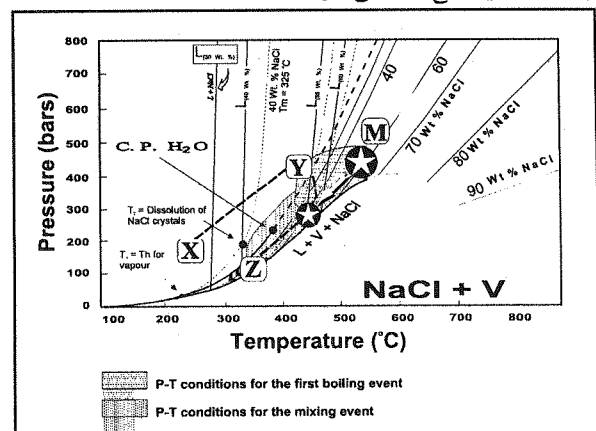
۹- تقدير و تشکر

از مسؤولین و کارشناسان محترم مجتمع مس سرچشمه به ویژه آقایان مهندسین پورکانی، آتش‌پنجه، شفیعی، زاهدی و بابایی به دلیل حمایت از انجام این پژوهش و نیز از راهنمایی‌های ارزنده آقای دکتر رحیمی‌پور از دانشگاه شهید باهنر کرمان تشکر و قدردانی می‌شود.

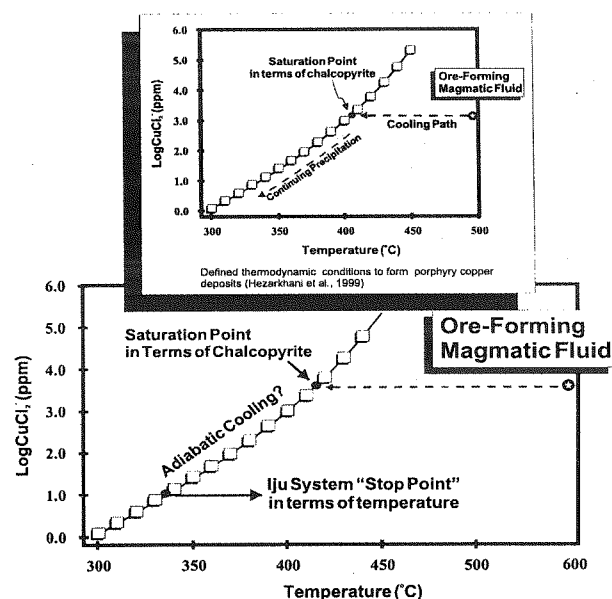
۱۰- مراجع

- [۱] حسنی‌پاک، علی‌اصغر؛ "ژئوشیمی اکتشافی محیط سنگی، انتشارات دانشگاه هرمزگان، بندرعباس، ۱۳۷۶.
- [۲] شهاب‌پور، جمشید؛ "زمین‌شناسی اقتصادی، انتشارات دانشگاه شهید باهنر کرمان، کرمان، ۱۳۷۹.
- [۳] طالبی، محمد؛ "مطالعه لیتوژئوژیمی، دگرسانی و سیالات درگیر کانسار مس پورفیری ایجو، شمال‌غرب شهریابک، پایان‌نامه کارشناسی ارشد، دانشگاه تربیت

سمت پایین و مخلوط شدن با سیالات با منشا ماقمایی، به گرم شدن شروع می‌کند و فشار و حرارت آنها به طور منظم افزایش می‌یابد. در نقطه Y سیال جوی به حداقل عمق خود رسیده و از آنجا به بعد به صعود در امتداد یک روند Y-Z (adiabatic cooling) شروع می‌کند. حبس این سیال باعث ایجاد سیالات درگیر نوع LV می‌شود.



شکل (۱۳): سازوکار تشکیل سیالات مولد موجود در کانسار ایجو بر روی نمودار فشار-دما برای سیستم آب-نمک با توجه به مطالعات اخیر [۱۲]، [۱۵]، شرایط تشکیل یک مس پورفیری اقتصادی، تعیین از روند محاسبه شده در شکل (۱۴)



شکل (۱۴): نمودار حالیت کالکوپیریت در مقابل درجه حرارت برای کانسار ایجو

است. چنانچه شرایط را بر اساس آنچه در ایجو گذشته است بازسازی کنیم، در حرارت و فشار محاسبه شده برای این پتانسیل معدنی، روند تغییرات مطابق منحنی نماد شده در شکل نیست و بنابراین، موقع داشتن یک سیستم زیا و اقتصادی در ایجو متفقی است.

مدرس، تهران، ۱۳۸۴.

[۴] مرادیان، عباس؛ "بررسی پترولوزیکی و ارزیابی اقتصادی سنگهای آذرین فلدسپاتوئیددار شمال شهربابک (جوزم)"، پایان نامه کارشناسی ارشد، دانشگاه تهران، ۱۳۶۹

Bazin, D.; Hubner, H.; *Copper deposits in Iran*, Geological Survey of Iran, Rep. 13 1969.

[۵] Beane, R. E.; Titley S. R.; "Porphyry copper deposits; part II: Hydrothermal alteration and mineralization", Econ. Geol. 75th Anniv. Vol., pp. 214-269, 1981.

[۶] Dimitrijevic, M.; *Geology of Kerman region*, Geol. Surv. Iran, Rep. No. Yu/52 1973.

[۷] Dimitrijevic, M.; Djordjevic, M.; Petrovic, Z.; *Geological map of Dehaj*, 1:100000 Series, Sheet 6951, Geol. Surv. Iran, 1971.

[۸] Geological Survey of Iran (GSI), *Exploration for ore deposits in Kerman region*, Rep. No. Yu/53 1973.

[۹] Guilbert, J. M.; Park, C. F.; *The geology of ore deposits*, W.H. Freeman and Company, New York, 1986.

[۱۰] Hezarkhani, A.; *Physicochemical controls on alteration and copper mineralization in the Sungun porphyry copper deposit, Iran*, Unpublished Ph.D. thesis, McGill University, 1997.

[۱۱] Hezarkhani, A.; Williams-Jones, A. E.; "Controls of alteration and mineralization in the Sungun porphyry copper deposit, Iran: Evidence from fluid inclusions and stable isotopes", Econ. Geol., vol. 93, pp 651-670, 1998.

[۱۲] Hezarkhani, A.; "Fluid inclusion investigations of the Raigan porphyry copper system, Kerman-Bam, Iran", International Geology Review, Stanford, U.S.A., vol. 48 no 3, pp 255-270, 2006.

[۱۳] Hezarkhani, A.; "Alteration/Mineralization and controls of chalcopyrite dissolution/deposition in the Raigan porphyry system, Bam-Kerman, Iran", International Geology Review, Stanford, U.S.A., vol. 48 no. 6, pp 561-572, 2006.

[۱۴] Hezarkhani, A.; Williams-Jones, A. E.; Gammons, C. H.; "Factors controlling copper solubility and chalcopyrite deposition in the Sungun porphyry copper deposit, Iran", Mineralium Deposita, Springer, Berlin/Heidelberg, vol. 34, no 8, pp 770-783, 1999.

[۱۵] Roedder, E.; Bodnar, R. J.; "Fluid inclusion studies of hydrothermal ore deposits". In: Barnes, H. L. (Ed.) *Geochemistry of hydrothermal ore deposits*, Wiley, New York, pp. 657-697, 1997.

[۱۶] Rose, A. W.; Hawkes, H. E.; Webb, J. S.; *Geochemistry in mineral exploration* 2nd edition, Academic Press, 1979.

[۱۷] Saric, V.; *Exploration for copper at locality Iju*, G.S.I. Rep. 33/Yu, 1971.

[۱۸] Shepherd, T. J.; *A practical guide to fluid inclusion studies*, 1985.

[۱۹] Wilkinson, J. J.; "Fluid inclusions in hydrothermal ore deposits", Lithos, vol. 55, pp. 229-272, 2001.

[۲۰]